

東北工業大学 正員。相原昭洋  
東北工業大学 正員 阿部至雄

### 1. はじめに

津波の進入に伴う海水の増幅機構は、これまでの研究例から、エネルギーの集中と共振によることが知られている。しかし、津波の観測記録からも知れるように、津波は遷移波であるとともに大陸棚以浅の海域における海水の挙動には地域性が強く関与しているので、海水振動の遷移性を考慮した理論的研究に加え、それらを実証するための実測記録に基づく研究も進めなくて必要である。そこで、気仙沼湾の宮城県沖地震に伴う津波記録を収集し津波に対する海水振動の性質を調べるために、定常および非定常スペクトルを推定し考察した結果について報告する。

### 2. 解析の概要

津波記録のスペクトル解析の諸元を表-1に示した。津波記録に含まれている潮汐成分を移動平均により求め、それからの偏差値をもって津波の成分とした。定常確率過程に対する津波のスペクトルの推定には最大エントロピー法を用い、このMEMスペクトルをもって定常スペクトルとした。非定常確率過程に対する津波のスペクトルは線型応答系からの出力の振幅包絡線として定義して求めた。

宮城県下に顕著な地震と津波被害を与えた宮城県近海の歴史津波として、1835年天保津波(推定M=7.5, 津波波高2~3m(綾里), 5~6m(野寺))と1861年文久津波(推定M=7.4, 津波波高3~4m(綾里), 2~3m(野寺))が記録されているが、羽鳥<sup>1)</sup>によれば、その後大きな津波被害は生じていないので、その空白域として注視すべき地域であると述べている。

水深の浅い所で生ずる近海津波は一般に長周期の小規模津波に属るが、気仙沼湾のように幅が狭く細長い湾で水深が浅くなる湾奥では波高が高くなることがある。今回の宮城県沖地震(M=7.4)の余震域はほぼ文久津波の推定波源域に位置しており、気仙沼湾の湾口はその波源域に向いたため他の三陸沿岸で観測された波高より相対的に高くなつたが、それでも高々0.34~1.18m程度であった。その津波の諸元を表-2に示した。

### 3. 結果および考察

図-2に津波のMEMスペクトルを示した。津波襲来前では卓越周期52分、35分、19分の三つの振動形態が見られ、周期52分は梶ヶ浦から岩井崎までの距離を約8km、平均水深11.7mとして振動周期を計算するとその周期は約50分となり、岩井崎付近を節とするような気仙沼湾の基本振動と思われる。周期35分、19分についても同様な計算をしてみると、前者は梶ヶ浦付近を節とするとの、後者は大浦付近を節とするような湾奥部に生ずる海水振動と思われる。津波の侵入に伴って卓越周期は50分

	データ 解析時刻 78年 6月	データ 読取総数 N	データ 読取間隔 $\Delta t$ (min)	フィルター 項数 K
津波襲来前	11日 14:00~	324	5	20
津波襲来 前半	12日 17:00~	156	5	14
津波襲來 後半	13日 6:00~	145	5	14

表-1 スペクトル解析諸元

	ZERO UP CROSSING WAVES		ZERO DOWN CROSSING WAVES	
	H <sub>u</sub> (m)	T <sub>u</sub> (min)	H <sub>d</sub> (m)	T <sub>d</sub> (min)
第1波	1.18	55	0.66	70
第2波	0.79	55	0.93	55
第3波	1.13	40	0.97	45
第4波	1.02	45	1.01	45
第5波	0.61	60	0.81	50
第6波	0.64	45	0.54	50
第7波	0.34	45	0.48	45
第8波	0.55	45	0.34	50
第9波	0.55	60	0.53	55
第10波	0.37	60	0.65	45

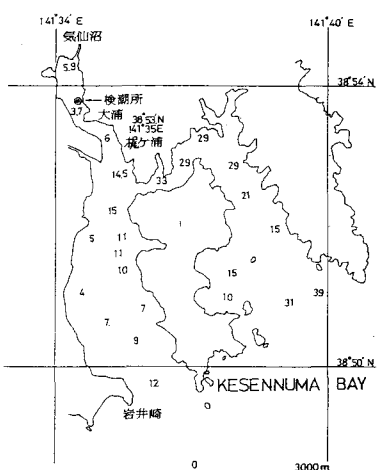


図-1 気仙沼湾地形

32分となり短周期側へ移行するが、この時より周期19分の湾水振動は見られなくなる。津波襲来後半には卓越周期は長周期側へ移行し、前半とは逆に周期30分の振動が卓越していく。これらは、振動エネルギーの大部分は基本モードのみに含まれること、基本モードの節の位置は津波の侵入に伴ない、湾内、湾外へ移動することを示していると考えられる。

図-3は津波スペクトルの時間的変化と周期別エネルギー分布であり、その最高値と最低値

を5段階に表示して示してある。津波襲来前ではあまり大きな変化はみられないが、津波の侵入に伴ないスペクトルエネルギーは増幅され、2波目付近になると51分～45分の周期帯が著しい増幅を示し、Zero down crossing法求めた最高水位の第4波目(12日20時頃)付近でピークに達し、そのピーク値は周期47分に生じている。津波襲来後半にはスペクトルのエネルギーは減衰するが周期31分のスペクトルの高まりが見られる。

図-4は津波記録全体のMEMスペクトルより得られた卓越周期に関する図-2の結果より図示し卓越周期のスペクトル経時変化として示したものである。津波襲来前ではスペクトルエネルギーは増減を繰り返しているが、その増幅の度合は小さい。津波襲来と共にスペクトルエネルギーは長周期側より増幅され、周期50分の増幅が著しい。また周期31分には2つのピークが存在し、2回目のピーク以後もスペクトルの高まりが持続している。

#### 4. あとがき

MEMスペクトルの解析結果より気仙沼湾での振動形態には周期52分、35分、19分の3つの形態が見られたが今後さらに、これらの振動モードに関して2次元数値モデルにより検討を行なう必要がある。

#### 参考文献

1)羽鳥：三陸沖歴史津波の規模と波源域、地震研究前編報、第50巻

PP397-414, 1975

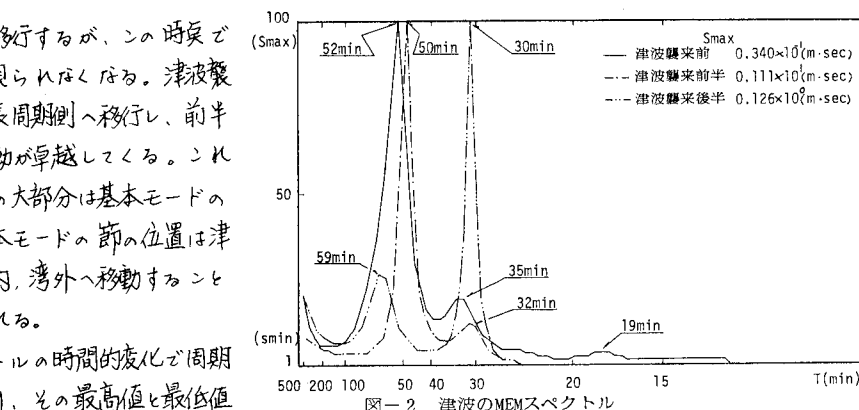
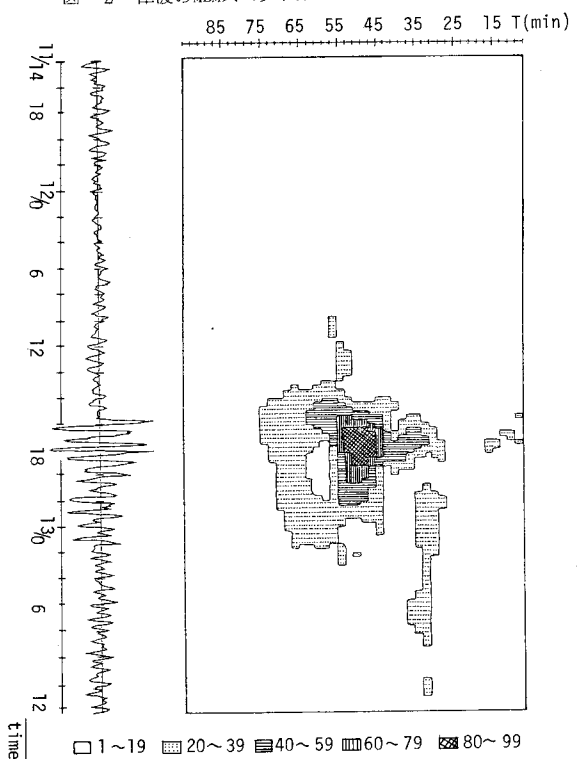


図-2 津波のMEMスペクトル



□ 1~19 ■ 20~39 ▨ 40~59 ▨ 60~79 ▨ 80~99  
図-3 津波スペクトルの時間変化

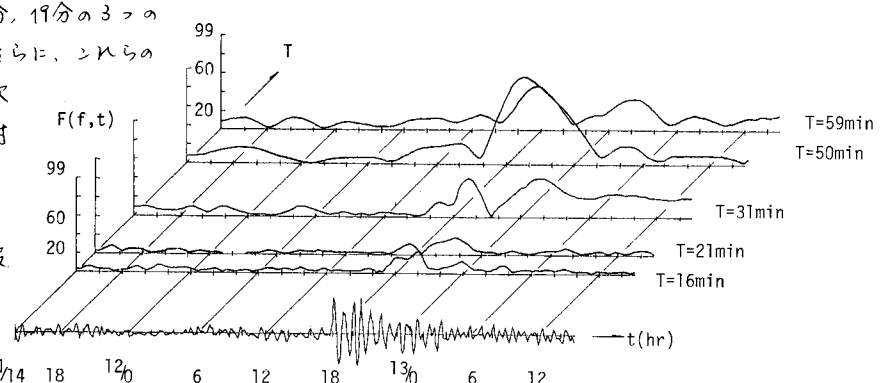


図-4 卓越周期に対するスペクトル経時変化